

## Выбор источника гамма-излучения при фазовом анализе вещества методом ядерного гамма-резонанса

С. В. СИНИЦЫН

Рассмотрено влияние нерезонансного ослабления резонансных  $\gamma$ -квантов матрицей источника  $\gamma$ -излучения на форму монолинии на мессбауэровском спектре. Указано, что данное влияние приводит к увеличению погрешности фазового анализа вещества в ядерной  $\gamma$ -резонансной спектроскопии. Определен критерий пригодности источника  $\gamma$ -излучения к применению в фазовом анализе вещества указанным методом. Показана актуальность проблемы для наиболее широко применяемых мессбауэровских изотопов.

Согласно [1] изменение плотности радионуклида по поверхности источника  $\gamma$ -излучения может приводить к изменению формы монолинии на мессбауэровском спектре резонансного  $\gamma$ -излучения, регистрируемом в геометрии поглощения. При этом форма монолинии резонансного поглощения становится отличной от лоренцевой и ее математическое описание усложняется, что в свою очередь обуславливает увеличение погрешности фазового анализа вещества методом ядерного  $\gamma$ -резонанса. Однако имеется другая не менее важная причина изменения формы монолинии. В [2] показано, что при наличии резонансного ослабления нерезонансное ослабление матрицей источника потока резонансных  $\gamma$ -квантов также вызывает дополнительное изменение формы монолинии резонансного поглощения. Поэтому на практике влияние указанного нерезонансного ослабления на форму монолинии резонансного поглощения следует минимизировать так, чтобы в пределах погрешности измерения им можно было пренебречь. Учитывая изложенное выше, определим критерий, по которому можно принять, что нерезонансное ослабление резонансных  $\gamma$ -квантов матрицей источника не влияет на форму монолинии резонансного поглощения и данный источник  $\gamma$ -излучения пригоден для применения в фазовом анализе вещества методом ядерного гамма-резонанса.

Указанное влияние можно определить по изменению параметров монолинии резонансного поглощения. В связи с этим проведем расчет площади  $S$ , амплитуды  $A$  и ширины  $W$  монолинии резонансного поглощения при одновременном учете резонансного и нерезонансного ослабления резонансных  $\gamma$ -квантов матрицей источника  $\gamma$ -излучения. Под  $A$ ,  $S$  и  $W$  будем понимать соответственно следующие величины на мессбауэровском спектре резонансных  $\gamma$ -квантов, получаемом в геометрии поглощения:

$$A = N_{\infty} - N_0; \quad S = \frac{4}{n_0} \sum_{i=1}^{n_c} (N_{\infty} - N_i); \quad W = \frac{S}{\pi A} \quad W_0, \quad (1)$$

где  $N_{\infty}$  — фон на спектре;  $N_0$  и  $N_i$  — числа импульсов на спектре соответственно при максимальном резонансном поглощении и в  $i$ -м канале;  $n_c$  — общее число каналов спектра;  $W_0$  — естественная ширина резонансного уровня ядер мессбауэровского изотопа, используемого в эксперименте в исследуемом веществе; число  $n_0$  соответствует ширине  $W_0$ , выраженной в каналах спектра.

Рассмотрим анализируемое вещество, в котором у всех ядер используемого в эксперименте мессбауэровского изотопа как энергия  $E_a$ , так и ширина  $W_a$  резонансного уровня имеют одно и то же значение. При фазовом анализе вещества методом ядерного  $\gamma$ -резонанса следует применять плоский источник  $\gamma$ -излучения, в матрице которого у всех ядер мессбауэровского изотопа как энергия  $E_s$ , так и ширина  $W_s$  резонансного уровня имеют одно и то же значение. Мессбауэровский спектр резонансного  $\gamma$ -излучения, полученный в геометрии поглощения с исследуемого образца рассматриваемого вещества при применении указанного источника, представляет собой монолинию. Используя (1), получаем выражения для расчета параметров данной монолинии резонансного поглощения, когда исследуется плоский образец:

$$A = N_{\infty}(0)\alpha \int_{-\infty}^{+\infty} dE \left( \frac{dI_r^{NR}}{dE} \right)_{v=v_0} \left\{ 1 - \exp[-\sigma_r^a(E) \times \right.$$

$$\left. \times d_a] \right\} \exp(-\mu_r^a d_a) / \int_{-\infty}^{+\infty} dE \left( \frac{dI_r^{NR}}{dE} \right)_v ; \\ S = N_{\infty}(0)\alpha \beta \int_{-\infty}^{+\infty} dv \frac{2E_0}{W_0 c} \int_{-\infty}^{+\infty} dE \left( \frac{dI_r^{NR}}{dE} \right)_v \times \\ \times \{1 - \exp[-\sigma_r^a(E)d_a]\} \exp(-\mu_r^a d_a) / \int_{-\infty}^{+\infty} dE \left( \frac{dI_r^{NR}}{dE} \right)_v ; \\ v_0 = c(E_a/E_s - 1); \quad \sigma_r^a(E) = \sigma_r^a / \{1 + [2(E - E_a)/W_a]^2\}. \quad (2)$$

С учетом результата расчетов [3] из (1), (2) имеем

$$A = N_{\infty}(0)\alpha \beta = \frac{\sigma_r^a d_a \Phi(\sigma_r^a d_a) \nu_a \exp(-\mu_r^a d_a)}{\nu_a \chi(\sigma_r^a d_a) + \nu_s \chi(\sigma_r^s d_s)} (1+J); \quad (3)$$

$$S = N_{\infty}(0)\alpha \beta \sigma_r^a d_a \Phi(\sigma_r^a d_a) \nu_a \exp(-\mu_r^a d_a); \quad (4)$$

$$W = [\nu_a \chi(\sigma_r^a d_a) + \nu_s \chi(\sigma_r^s d_s)] W_0 / (1+J); \quad (5)$$

$$J = \frac{\nu_s \chi(\sigma_r^s d_s)}{\nu_a \chi(\sigma_r^a d_a) + \nu_s \sqrt{\sigma_r^s / \mu_r^s + 1}} [1 - 1/(1-\delta) \times \\ \times \chi(\sigma_r^s d_s)]; \quad (6)$$

$$\nu_a = W_a / W_0; \quad \nu_s = W_s / W_0;$$

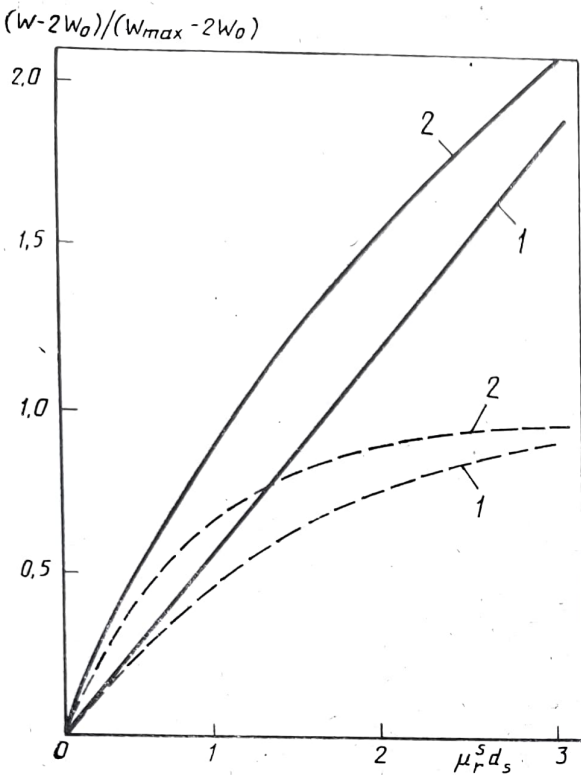
$$\delta = 1 - \frac{1}{\sqrt{\sigma_r^s / \mu_r^s + 1}} - \frac{\mu_r^s d_s \exp(-\mu_r^s d_s)}{1 - \exp(-\mu_r^s d_s)} \times$$

$$\times \frac{\sigma_r^s / \mu_r^s}{\sigma_r^s / \mu_r^s + 1} \frac{\Phi(\sigma_r^s d_s) \sqrt{\sigma_r^s / \mu_r^s + 1}}{\chi(\sigma_r^s d_s) + \sqrt{\sigma_r^s / \mu_r^s + 1}};$$

$$\Phi(x) = [I_0(x/2) + I_1(x/2)] \exp(-x/2);$$

$$\chi(x) = x \Phi(x) / [1 - I_0(x/2) \exp(-x/2)] - 1,$$

где  $N_{\infty}(0)$  — фон в отсутствие исследуемого образца;  $\alpha$  — доля резонансных  $\gamma$ -квантов, испущенных как без, так и с отдачей, в общем потоке  $\gamma$ -излучения, покинувшего объем матрицы источника по направлению нормали к его поверхности и зарегистрированного детектором в отсутствие исследуемого образца;  $\beta$  — доля резонансных  $\gamma$ -квантов, испущенных без отдачи, в общем потоке резонансного  $\gamma$ -излучения, покинувшего объем матрицы источника по направлению нормали к его поверхности;  $dI_r^{NR}/dE$  — функция, описывающая энергетическое распределение резонансных  $\gamma$ -квантов, испущенных без отдачи и покинувших объем матрицы плоского источника по направлению нормали к его поверхности;  $E$  — энергия резонансных  $\gamma$ -квантов;  $E_0$  — энергия резонансного уровня ядер используемого мессбауэровского изотопа при отсутствии внешних магнитных и электрических полей;  $\sigma_r^a$  и  $\sigma_r^s$  — коэффициенты резонансного ослабления резонансных  $\gamma$ -квантов соответственно в анализируемом веществе и матрице источника;  $\mu_r^a$  и  $\mu_r^s$  — коэффициенты нерезонанс-



Зависимость относительного расширения монолинии резонансного поглощения  $(W - 2W_0)/(W_{\max} - 2W_0)$  от  $\mu_r^s d_s$ , когда учитывается (пунктир) и не учитывается (сплошные кривые) нерезонансное ослабление потока резонансных  $\gamma$ -квантов матрицы источника при значениях  $\sigma_r^s/\mu_r^s$ , равных 1 (1) и 10 (2). Здесь  $W_{\max}$  — максимально возможное значение  $W$  при учете нерезонансного ослабления потока резонансных  $\gamma$ -квантов.

ного ослабления резонансных  $\gamma$ -квантов соответственно в анализируемом веществе и матрице источника;  $d_a$  и  $d_s$  — толщины соответственно исследуемого образца и матрицы источника;  $v$  — скорость движения источника относительно детектора  $\gamma$ -излучения, причем  $v$  положительно, если источник движется в детектор;  $v_0$  — скорость движения источника относительно детектора, при которой наблюдается максимальное резонансное поглощение резонансных  $\gamma$ -квантов в анализируемом веществе;  $c$  — скорость света;  $I_0$  и  $I_1$  — функции Бесселя соответственно нулевого и первого порядков.

Вид функции  $dI^{NR}/dE$  приведен в [4]. В формуле (4) множитель  $E_0/E_s$  опущен, так как на практике он равен единице с погрешностью до  $10^{-15}$ .

Из (3)–(5) следует, что формулы для расчета  $A$  и  $W$  отличаются от аналогичных формул из [3] на множители соответственно  $(1+J)$  и  $(1+J)^{-1}$ . В то же время формулы для расчета  $S$  совпадают. Согласно (6), если  $\mu_r^s = 0$  ( $\sigma_r^s/\mu_r^s \rightarrow \infty$ ), то  $J=0$ . Однако для реального материала матрицы источника отношение  $\sigma_r^s/\mu_r^s$  имеет конечное значение. Поэтому при  $d_s \rightarrow \infty$  получаем

$$J = [\nu_s x(\sigma_r^s d_s) - \nu_s \sqrt{\sigma_r^s / \mu_r^s + 1}] [\nu_a x(\sigma_r^s d_a) + \nu_s \sqrt{\sigma_r^s / \mu_r^s + 1}]^{-1}.$$

Следовательно, исходя из (3), (5), величины  $A$  и  $W$  стремятся к некоторым конечным значениям при росте  $d_s$  (рисунок). Это объясняется тем, что вследствие нерезонансного ослабления, в основном, регистрируются резонансные  $\gamma$ -кванты, испускаемые из приповерхностного слоя матрицы толщиной  $(3-4)/\mu_r^s$ . В связи с этим нерезонансное ослабление ограничивает уширение спектральных линий резонансных  $\gamma$ -квантов, возникающее при резонанском поглощении последних матрицей источника  $\gamma$ -излучения.

Положим, что нерезонансным ослаблением потока резонансных  $\gamma$ -квантов матрицей источника можно пренебречь,

если указанное ослабление приводит к изменению амплитуды и ширины монолинии резонанского поглощения не более, чем на 1 %. Отсюда должно быть справедливо следующее требование:  $J < 10^{-2}$ . Тогда, используя (6), можно показать, что при  $0.3 \leq \mu_r^s d_s \leq 3$ , а это обычно имеет место на практике, данное требование выполняется, если параметры источника  $\mu_r^s d_s$  и  $\sigma_r^s / \mu_r^s$  удовлетворяют условию

$$\sigma_r^s / \mu_r^s \leq 0.469 / (\mu_r^s d_s)^{1.842}. \quad (7)$$

Известно, что для ядерных  $\gamma$ -резонансных экспериментов источники  $\gamma$ -излучения изготавливаются двумя способами. В основе первого способа лежит процесс термической диффузии атомов материнского радиоактивного изотопа в матрицу источника. Второй способ базируется либо на облучении матрицы потоком тепловых нейтронов с целью получения в ее объеме ядер материнского радиоактивного изотопа, либо на облучении потоком тепловых нейтронов химического соединения исходного изотопа, на основе которого синтезируется материал матрицы. Для первого способа изготовления условие (7) можно записать в ином виде:

$$\sigma_0 f T R < 0.325 / [1 - \exp(-y)] (\mu_r^s d_s)^{0.842}; \quad (8)$$

$$y = t_{ex} \ln 2 / T,$$

где  $\sigma_0$  — максимальное сечение резонанского поглощения для используемого мессбауэровского изотопа;  $f$  — вероятность эффекта Мессбауэра в матрице источника;  $R$  — радиоактивность источника, приходящаяся на единицу его площади;  $T$  — период полураспада материнского радиоактивного изотопа;  $t_{ex}$  — время эксплуатации источника.

Согласно выполненным расчетам, для второго способа изготовления условие (7) можно переписать так:

$$\sigma_0 f T R < 0.325 [1 - \exp(-z)] / \{z - [1 - \exp(-z)] \times \exp(-y)\} (\mu_r^s d_s)^{0.842}; \quad (9)$$

$$z = t_r \ln 2 / T,$$

где  $t_r$  — время облучения матрицы источника или исходного изотопа.

Условие (7) необходимо принимать во внимание не только при изготовлении источника, но и при дополнительном облучении последнего с целью восстановления его радиоактивности для дальнейшего использования.

Из (8) и (9) следует, что чем больше значение  $\sigma_0 f T$  для мессбауэровского изотопа, тем больше влияние нерезонансного ослабления на форму монолинии резонанского поглощения. С другой стороны, чем больше значение  $\sigma_0 f T$  для мессбауэровского изотопа, тем проще условия наблюдения эффекта Мессбауэра на ядрах этого изотопа. Поэтому для наиболее применяемых при фазовом анализе мессбауэровских изотопов рассматриваемая проблема может быть актуальной. В таблице для трех мессбауэровских изотопов, имеющих наибольшее значение  $\sigma_0 f T$ , указано минимальное значение  $R$ , при котором влияние нерезонансного ослабления потока резонансных  $\gamma$ -квантов матрицей толщины  $1/\mu_r^s$  на форму монолинии резонанского поглощения становится существенным. Приведены [5, 6], [7] и [8, 9].

Согласно данным таблицы, наиболее остро эта проблема стоит при фазовом анализе вещества с применением мессбауэровского изотопа  $^{181}\text{Ta}$ , что связано с относительно малой энергией его резонанского перехода, равной 6,25 кэВ [6], а следовательно, малым значением  $1/\mu_r^s$ . При применении в исследованиях изотопа  $^{181}\text{Ta}$  используется радиоактивный источник, представляющий собой материнский изотоп  $^{181}\text{W}$  в матрице из изотопа  $^{180}\text{W}$ , для которой  $1/\mu_r^s$  составляет всего лишь 1,65 мкм [10]. Рассматриваемая проблема может иметь место и для случая фазового анализа вещества с применением изотопа  $^{57}\text{Fe}$ . Это также связано с относительно малой энергией его резонанского перехода, равной 14,39 кэВ [7]. Например, для мессбауэровских источников, представляющих собой материнский радиоактивный изотоп  $^{57}\text{Co}$  в матрицах из  $\text{Cr}$  и  $\text{Pd}$  значения  $1/\mu_r^s$ , равны соответственно 26,1 и 20,2 мкм [10]. Изготовление источников с матрицей

Мессбауэровский изотоп	Материнский радиоактивный изотоп	$T$ , сут	$\sigma_0 \cdot 10^{19}$ , см $^2$	$f$	Температура эксплуатации источника, К	$R \cdot 10^{-8}$ Бк/мм $^2$
$^{57}_{26}\text{Fe}$	$^{57}_{27}\text{Co}$	270	23,63	0,70	293	1,37*
$^{119}_{50}\text{Sn}$	$^{119m}_{50}\text{Sn}$	250	13,29	0,60	293	1,33**
$^{181}_{73}\text{Ta}$	$^{181}_{74}\text{W}$	120	17,02	$\approx 1,0$	293	1,33**

\* — первый способ изготовления;

\*\* — второй способ изготовления.

указанной толщины — вполне обычное явление в мессбауэровской спектроскопии резонансного  $\gamma$ -излучения изотопа  $^{57}_{26}\text{Fe}$  [2, 11]. Для мессбауэровского изотопа  $^{119}_{50}\text{Sn}$  проблема нерезонансного ослабления потока резонансных  $\gamma$ -квантов матрицей источника обусловлена относительно малым сечением ядерной реакции  $^{118}_{50}\text{Sn}(n, \gamma)^{119m}_{50}\text{Sn}$ , используемой для изготовления источника  $\gamma$ -излучения. Данное сечение равно 0,02 барна [12]. Поэтому с целью уменьшения времени облучения матрицы или навески исходного изотопа, которое может составлять полгода — год и более, необходимо облучать последние толщиной около  $1/\mu_s$ . Следует отметить, что при использовании в исследованиях мессбауэровского изотопа  $^{119}_{50}\text{Sn}$  рассматриваемая проблема может возникнуть, в первую очередь, при дополнительном облучении матрицы источника  $\gamma$ -излучения с целью восстановления его радиоактивности для дальнейшего использования.

Таким образом, сформулирован и проанализирован критерий пригодности источника  $\gamma$ -излучения к применению в фазовом анализе вещества методом ядерного  $\gamma$ -резонанса.

## ЛИТЕРАТУРА

1. Кирсанов Б. Н., Пермяков Ю. В. // Измерительная техника. — 1989. — № 7. — С. 54.
2. Mullen J. G. e. a. // Phys. Rev. B. — 1988. — V. 37. — N. 7. — P. 3226.
3. Быков Г. А., Фам Зуи Хиен // ЖЭТФ. — 1962. — Т. 43. — № 3. — С. 909.
4. Синицын С. В. // Заводская лаборатория. — 1992. — Т. 58. — № 12. — С. 24.
5. Джелепов Б. С., Пекер Л. К. Схемы распада радиоактивных ядер  $A < 100$ . — Л.: Наука, 1966.
6. Джелепов Б. С., Пекер Л. К., Сергеев В. О. Схемы распада радиоактивных ядер  $A \geq 100$ . — Л.: Изд-во АН СССР, 1963.
7. Шпинель В. С. Резонанс гамма-лучей в кристаллах. — М.: Наука, 1969.
8. Иркаев С. М., Кузьмин Р. Н., Опаленко А. А. Ядерный гамма-резонанс. — М.: Изд-во МГУ, 1970.
9. Steyert W. A., Tayler R. P., Storms E. K. // Phys. Rev. Lett. — 1965. — V. 14. — N 18. — P. 739.
10. Немец О. Ф., Гофман Ю. В. Справочник по ядерной физике. — Киев: Наукова думка, 1975.
11. Stephen J. // Nucl. Instr. Meth. — 1964. — V. 26. — N 2. — P. 269.
12. Hohenemser C. // Phys. Rev. — 1965. — V. 139. — N 1A. — P. A185.